

ENSIIE

PROMOTION 2024

Rapport Projet Maths Info Semestre 2

Valentin BUCHON, Eloïse DELHOMELLE, Yasmine NAIT KACI



Année 2021-2022

Table des matières

I	Modèle de Cox-Ross-Rubinstein (binomial)	3
1	Préambule	3
2	Premier Pricer	4
3	Deuxième Pricer	5
4	Comparaison	6
5	Couverture	6
II	Modèle de Black-Scholes	9
1	Le modèle	9
2	Le pricer par la méthode de Monte-Carlo	9
3	Le pricer par formule fermée	10
III	Convergence des prix	12
1	Application	12
IV	EDP de Black-Scholes	13

Partie I

Modèle de Cox-Ross-Rubinstein (binomial)

Sommaire

1	Préambule	3
2	Premier Pricer	4
3	Deuxième Pricer	5
4	Comparaison	6
5	Couverture	6

1 Préambule

Question 1

On sait que :

$$\mathbb{E}_Q = (1 + b_N)Q(T_1^{(N)} = 1 + b_N) + (1 + h_N)Q(T_1^{(N)} = 1 + h_N) = 1 + r_N$$

Or avec $b_N < r_N < h_N$ on pose également :

$$\begin{cases} q_N = Q(T_1^{(N)} = 1 + h_N) \\ 1 - q_N = Q(T_1^{(N)} = 1 + b_N) \end{cases}$$

D'où avec l'égalité sur q_N et celle sur l'espérance :

$$q_N = \frac{(1 + r_N) - (1 + b_N)Q(T_1^{(N)} = 1 + b_N)}{1 + h_N}$$

Ainsi en injectant la dernière égalité sur $1 - q_N$ et en arrangeant :

$$q_N = \frac{r_N - b_N}{h_N - b_N}$$

Cette égalité fait sens avec les contraintes de définition, en particulier sur l'inégalité $b_N < r_N < h_N$.

Question 2

Le lemme de transfert nous donne :

$$\mathbb{E}[\phi(X)] = \sum_i \phi(x_i) \mathbb{P}(X = x_i)$$

Or d'après la définition de S_{t_i} on trouve :

$$f(S_{t_N}^{(N)}) = f(T_N^{(N)} S_{t_{N-1}}^{(N)}) = f\left(s \prod_{i=1}^N T_i^{(N)}\right)$$

Ainsi en utilisant le lemme précédent :

$$\mathbb{E}_{\mathbb{Q}} \left[f(S_{t_N}^{(N)}) \right] = \sum_{k=0}^N f\left(s(1+h_N)^k(1+b_N)^{N-k}\right) \mathbb{Q}(S_{t_N} = s(1+h_N)^k(1+b_N)^{N-k})$$

Les événements étant iid. On a donc :

$$\mathbb{E}_{\mathbb{Q}} \left[f(S_{t_N}^{(N)}) \right] = \sum_{k=0}^N f\left(s(1+h_N)^k(1+b_N)^{N-k}\right) \binom{N}{k} q_N^k (1-q_N)^{N-k}$$

Nous avons finalement :

$$\text{Prix}_{\text{Bin}}^{(N)} = \frac{1}{(1+r_N)^N} \sum_{k=0}^N f\left(s(1+h_N)^k(1+b_N)^{N-k}\right) \binom{N}{k} q_N^k (1-q_N)^{N-k}$$

2 Premier Pricer

Question 3

Voici le pseudo-code :

```

1: Fonction PRICER1( $N, r_N, h_N, b_N, s, f$ ) :
2:    $q_N \leftarrow \frac{r_N - b_N}{h_N - b_N}$ 
3:    $T \leftarrow \text{TrianglePascal}(N)$ 
4:    $\Sigma \leftarrow 0$ 
5:   Pour  $k = 0$  jusqu'à  $N$ , faire :
6:      $C_{N,k} \leftarrow T[N][k]$ 
7:      $\text{nouveauF} \leftarrow f(s(1+h_N)^k(1+b_N)^{N-k})$ 
8:      $\Sigma \leftarrow \Sigma + \text{nouveauF} \cdot C_{N,k} \cdot q_N^k \cdot (1-q_N)^{N-k}$ 
9:   Fin pour
10:  Renvoyer  $\frac{\Sigma}{(1+r_N)^N}$ 
11: Fin Fonction

```

Voici l'implémentation Python :

```

1 def trianglePascal(n):
2     T = [[0] * (n+1) for p in range(n+1)]
3     for n in range(n+1):
4         if n == 0:
5             T[n][0] = 1
6         else:
7             for k in range(n+1):
8                 if k == 0:
9                     T[n][0] = 1
10                else:
11                    T[n][k] = T[n-1][k-1] + T[n-1][k]
12     return T
13
14
15
16 def pricer_1(N, rN, hN, bN, s, f):
17     qN = (rN - bN) / (hN - bN)
18     T = trianglePascal(N)

```

```

19     somme = 0
20     for k in range(0,N+1):
21         binome = T[N][k]
22         nouveauF = f(s*((1+hN)**k)*((1+bN)**(N-k)))
23         somme += nouveauF*binome*(qN**k)*((1-qN)**(N-k))
24     return (1/((1+rN)**N))*somme

```

Question 4

On trouve avec les valeurs données, Prix : 26.6169

3 Deuxième Pricer

Question 5

On a :

$$v_{N-1}(x) = \mathbb{E}_{\mathbb{Q}} \left[\frac{f(S_{t_N})}{1+r_N} | S_{t_{N-1}} = x \right]$$

D'où

$$v_{N-1}(x) = \mathbb{E}_{\mathbb{Q}} \left[\frac{f(xT_N)}{1+r_N} \right] = \frac{q_N f(x(1+h_N)) + (1-q_N) f(x(1+b_N))}{1+r_N}$$

Nous utiliserons donc l'algorithme suivant :

```

1: Fonction PRICER2( $N, r_N, h_N, b_N, s, f$ ) :
2:    $q_N \leftarrow \frac{r_N - b_N}{h_N - b_N}$ 
3:   arbre  $\leftarrow (f(s((1+b_N)^k(1+h_N)^{N-k})))_{0 \leq k < N}$ 
4:   Pour  $k = N$  jusqu'à 0, faire :
5:     aux  $\leftarrow []$ 
6:     Pour  $i = 0$  jusqu'à  $k - 1$ , faire :
7:        $f_{\uparrow} \leftarrow \text{arbre}[-1][i]$ 
8:        $f_{\downarrow} \leftarrow \text{arbre}[-1][i+1]$ 
9:        $v_N \leftarrow \frac{1}{1+r_N} \cdot q_N \cdot f_{\uparrow} + (1-q_N) \cdot f_{\downarrow}$ 
10:      ajouter  $v_N$  à aux
11:   Fin pour
12:   ajouter aux à arbre
13: Fin pour
14: Renvoyer arbre
15: Fin Fonction

```

Ainsi nous obtenons cette implémentation python :

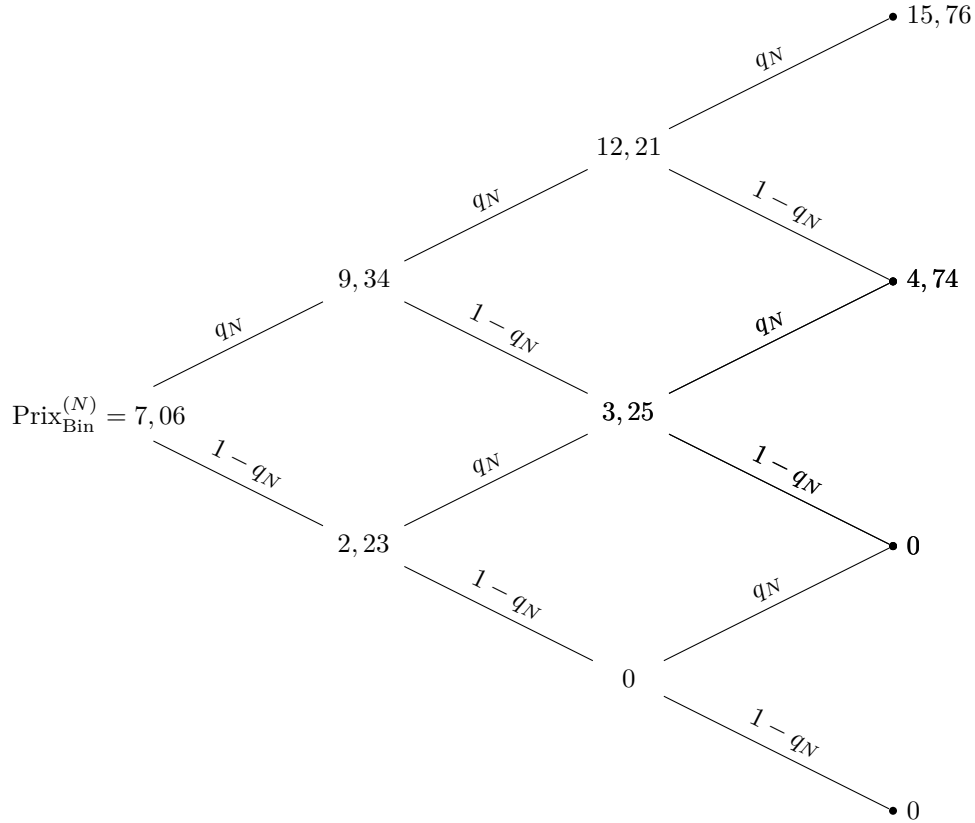
```

1 def pricer_2(N,rN,hN,bN,s,f):
2     qN = (rN-bN)/(hN-bN)
3     tree = [[f(s*((1+bN)**k)*((1+hN)**(N-k))) for k in range(0,N+1)]]
4     for n in range(N,0,-1):
5         aux = []
6         for i in range(0,n):
7             fup = tree[-1][i]
8             fdown = tree[-1][i+1]
9             vn = (1/(1+rN))*(qN*fup+(1-qN)*fdown)
10            aux.append(vn)
11        tree.append(aux)
12    return tree

```

Question 6

Voici l'arbre des $v_k(\cdot)$:



4 Comparaison

Question 7

Pour n'importe quel N nous trouvons des valeurs similaires, les faibles écarts sont probablement dus aux opérations sur les flottants. Cependant, la première différence est que le *pricer*₁ est plus lent que le *pricer*₂. Le second problème avec *pricer*₁ est principalement le stockage d'entiers bien trop grands ainsi que les opérations effectuées sur ces derniers. En effet, il y a une erreur : `int too large to convert to float`, il faudrait donc utiliser d'autres bibliothèques comme `Decimal` pour y pallier.

5 Couverture

Question 8

En posant $x = S_{t_{N-1}}^{(N)}$ Nous avons comme système :

$$\begin{cases} f((1 + h_N)x) = \alpha_{N-1}(x)(1 + h_N)x + \beta_{N-1}(x)(1 + r_N)^N \\ f((1 + b_N)x) = \alpha_{N-1}(x)(1 + b_N)x + \beta_{N-1}(x)(1 + r_N)^N \end{cases}$$

Ainsi en isolant α_{N-1} on obtient :

$$\begin{cases} \alpha_{N-1}(x) = \frac{f((1 + h_N)x) - \beta_{N-1}(x)(1 + r_N)^N}{x(1 + h_N)} \\ \beta_{N-1}(x) = \frac{f((1 + b_N)x)(1 + h_N) - f((1 + h_N)x)(1 + b_N)}{(1 + r_N)^N(h_N - b_N)} \end{cases}$$

En injectant β_{N-1} dans la première équation, nous avons finalement comme solution :

$$\begin{cases} \alpha_{N-1}(x) = \frac{f((1+h_N)x)}{x(1+h_N)} - \frac{f((1+b_N)x)(1+h_N) - f((1+h_N)x)(1+b_N)}{x(1+h_N)(h_N - b_N)} \\ \beta_{N-1}(x) = \frac{f((1+b_N)x)(1+h_N) - f((1+h_N)x)(1+b_N)}{(1+r_N)^N(h_N - b_N)} \end{cases}$$

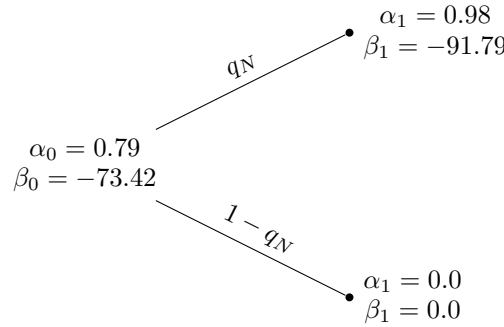
Question 9

La démonstration est identique à la question 8 en remplaçant le N par un k . La question précédente est un cas particulier de cette question où $N = k$. Ainsi on trouve :

$$\begin{cases} \alpha_{k-1}(x) = \frac{v_k((1+h_N)x)}{x(1+h_N)} - \frac{v_k((1+b_N)x)(1+h_N) - v_k((1+h_N)x)(1+b_N)}{x(1+h_N)(h_N - b_N)} \\ \beta_{k-1}(x) = \frac{v_k((1+b_N)x)(1+h_N) - v_k((1+h_N)x)(1+b_N)}{(1+r_N)^k(h_N - b_N)} \end{cases}$$

Question 10

Application des prochains algorithmes nous donne cette couverture :



```

1 def beta(x, hN, bN, vku, vkd, rN, k):
2     num = vkd*(1+hN) - vku*(1+bN)
3     den = (hN-bN)*((1+rN)**k)
4     return num/den
5
6 def alpha(x, hN, bN, vku, vkd, rN, k):
7     num = vku - beta(x, hN, bN, vku, vkd, rN, k)*((1+rN)**k)
8     den = x*(1+hN)
9     return num/den
  
```

Ainsi en utilisant la fonction `pricer_2` et les deux précédentes nous avons en pseudo code :

```

1: Fonction COUVERTURE( $N, r_N, h_N, b_N, s, f$ ) :
2:   tableauVk ← PRICER2( $N, r_N, h_N, b_N, s, f$ )
3:   renverser tableauVk
4:    $a \leftarrow \alpha(s, h_N, b_N, \text{tableauVk}[1][0], \text{tableauVk}[1][1], r_N, 1)$ 
5:    $b \leftarrow \beta(s, h_N, b_N, \text{tableauVk}[1][0], \text{tableauVk}[1][1], r - N, 1)$ 
6:   arbre ←  $[(s, a, b)]$ 
7:   Pour  $i = 1$  jusqu'à  $N - 1$ , faire :
8:     aux ←  $[]$ 
9:     Pour  $j = 1$  jusqu'à longueur arbre $[-1]$ , faire :
10:       $x \leftarrow$  Premier élément de arbre $[-1][j]$ 
11:       $vk_{\uparrow,1} \leftarrow \text{tableauVk}[i+1][j]$ 
12:       $vk_{\downarrow,1} \leftarrow \text{tableauVk}[i+1][j+1]$ 
13:       $vk_{\uparrow,2} \leftarrow \text{tableauVk}[i+1][j+1]$ 
14:       $vk_{\downarrow,2} \leftarrow \text{tableauVk}[i+1][j+2]$ 
15:       $x_{\uparrow} \leftarrow x \cdot (1 + h_N)$ 
  
```

```

16:       $x_{\downarrow} \leftarrow x \cdot (1 + b_N)$ 
17:       $a_{\uparrow} \leftarrow \alpha(x_{\uparrow}, h_N, b_N, vk_{\uparrow,1}, vk_{\downarrow,1}, r_N, i + 1)$ 
18:       $b_{\uparrow} \leftarrow \beta(x_{\uparrow}, h_N, b_N, vk_{\uparrow,1}, vk_{\downarrow,1}, r_N, i + 1)$ 
19:       $a_{\downarrow} \leftarrow \alpha(x_{\downarrow}, h_N, b_N, vk_{\uparrow,2}, vk_{\downarrow,2}, r_N, i + 1)$ 
20:       $b_{\downarrow} \leftarrow \beta(x_{\downarrow}, h_N, b_N, vk_{\uparrow,2}, vk_{\downarrow,2}, r_N, i + 1)$ 
21:      ajouter  $(x_{\uparrow}, a_{\uparrow}, b_{\uparrow})$  à aux
22:      ajouter  $(x_{\downarrow}, a_{\downarrow}, b_{\downarrow})$  à aux
23:      Fin pour
24:      ajouter aux à arbre
25:  Fin pour
26:  Renvoyer arbre
27: Fin Fonction

```

Et l'implémentation Python nous donne :

```

1  def couverture(N,s,rN,hN,bN,f):
2      tabVk = pricer_2(N, rN, hN, bN, s, f)
3      tabVk.reverse()
4      a = alpha(s,hN,bN,tabVk[1][0],tabVk[1][1],rN,1)
5      b = beta(s,hN,bN,tabVk[1][0],tabVk[1][1],rN,1)
6      tree = [[(s,a,b)]]
7      for i in range(1,N):
8          aux = []
9          for j in range(len(tree[-1])):
10             x,aa,bb = tree[-1][j]
11             vku1 = tabVk[i+1][j]
12             vkd1 = tabVk[i+1][j+1]
13             vku2 = tabVk[i+1][j+1]
14             vkd2 = tabVk[i+1][j+2]
15             xup = x*(1+hN)
16             xdown = x*(1+bN)
17             aup = alpha(xup,hN,bN,vku1,vkd1,rN,i+1)
18             bup = beta(xup,hN,bN,vku1,vkd1,rN,i+1)
19             adown = alpha(xdown,hN,bN,vku2,vkd2,rN,i+1)
20             bdown = beta(xdown,hN,bN,vku2,vkd2,rN,i+1)
21             aux.append((xup,aup,bup))
22             aux.append((xdown,adown,bdown))
23         tree.append(aux)
24     return tree

```


Partie II

Modèle de Black-Scholes

Sommaire

1	Le modèle	9
2	Le pricer par la méthode de Monte-Carlo	9
3	Le pricer par formule fermée	10

1 Le modèle

Question 11

Nous avons :

$$dS_t = S_t(rdt + \sigma dB_t)$$

En appliquant la loi d'Itô avec $g(x) = \ln(x)$ qui est bien \mathcal{C}^2 . On obtient :

$$\begin{aligned} d\ln(S_t) &= \frac{1}{S_t}dS_t - \frac{(\sigma S_t)^2}{2S_t^2}dt \\ &= \frac{1}{S_t}(rS_tdt + \sigma S_tdB_t) - \frac{\sigma^2}{2}dt \\ &= (r - \frac{\sigma^2}{2})dt + \sigma dB_t \end{aligned}$$

D'où :

$$\frac{d\ln(S_t)}{dt} = r - \frac{\sigma^2}{2} + \sigma \frac{dB_t}{dt}$$

Ainsi sachant que $B_0 = 0$ et que $S_0 = s$, en intégrant nous avons :

$$\ln(S_t) = (r - \frac{\sigma^2}{2})t + \sigma B_t + \ln(s)$$

En passant à l'exponentielle, nous avons donc finalement :

$$S_t = s \exp((r - \frac{\sigma^2}{2})t + \sigma B_t)$$

2 Le pricer par la méthode de Monte-Carlo

Question 12

Voici le pseudo-code :

- 1: **Fonction** PRICERM(n, s, r, σ, T, f) :
- 2: $normal \leftarrow (x_i \in X \sim \mathcal{N}(0, 1))_{[0 \leq i \leq n]}$
- 3: $\Sigma \leftarrow 0$

```

4:   Pour  $i = 0$  jusqu'à  $n$ , faire :
5:        $\text{evaluationF} \leftarrow f(\dots)$ 
6:        $\Sigma \leftarrow \Sigma + \exp^{-r \cdot T} \text{evaluationF}$ 
7:   Fin pour
8:   Renvoyer  $\frac{\Sigma}{n}$ 
9: Fin Fonction

```

Voici l'implémentation Python :

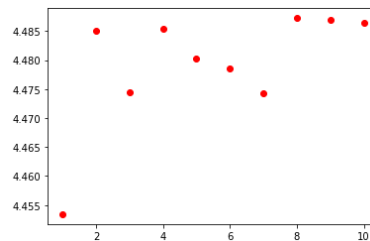
```

1 def pricer_MC(n,s,r,sig,T,f):
2     normale = np.random.normal(0,1,n)
3     somme = 0
4     for i in range(n):
5         evalf = f(s*math.exp((r-(sig**2)/2)*T+sig*(T**0.5)*normale[i]))
6         somme += math.exp(-r*T)*evalf
7     return somme/n

```

Question 13

Voici un graphe utilisant la méthode de Monte-Carlo



Question 14

Si Z suit un processus de Wiener (mouvement Brownien) standard alors la variation ∂B_t durant un court intervalle ∂t s'écrit :

$$\partial Z = \varepsilon \sqrt{\partial t}, \text{ où } \varepsilon \sim \mathcal{N}(0, 1)$$

Ainsi :

$$d \ln(S_t) = (r - \frac{\sigma^2}{2})dt + \sigma \varepsilon \sqrt{dt}$$

$r - \frac{\sigma^2}{2}$ et σ sont des constantes, donc $\ln(S_t)$ suit un processus de Wiener. Donc la variation $\ln(S_t)$ entre la date 0 et T suit une loi Normale :

$$\ln(S_t) \sim \mathcal{N}(\ln(S_0)(r - \frac{\sigma^2}{2})T, \sigma\sqrt{T})$$

Ainsi S_t suit une loi log-normale et on a :

$$S_T \stackrel{\text{loi}}{=} s \exp^{(r - \frac{\sigma^2}{2})T + \sigma\sqrt{T}\varepsilon}$$

Avec $S_0 = 0$ et $\varepsilon \sim \mathcal{N}(0, 1)$.

Sachant que S_T est une variable aléatoire alors $\exp^{-rT} f(S_T)$ est une variable aléatoire. Or les $(\varepsilon_i)_{1 \leq i \leq n}$ sont une suite de variables aléatoires indépendantes et identiquement distribuées de loi $\mathcal{N} \sim (0, 1)$. On peut en déduire que $(\text{Prix}_{MC}^{(n)})_{n \in \mathbb{N}}$ converge presque sûrement vers $P = \mathbb{E}[\exp^{-rT} f(S_T)]$. Ceci découle directement de la Loi forte des grands nombres.

3 Le pricer par formule fermée

Question 15

Voici le pseudo-code avec $Y \sim \mathcal{N}(0, 1)$:

1: **Fonction** $\text{PUTBS}(s, r, \sigma, T, K)$:

2: $d_1 = \frac{1}{\sigma \sqrt{T}} \ln \frac{s}{K} + (r + \frac{\sigma^2}{2})T$

3: $d_2 = d_1 - \sigma \sqrt{T}$

4: $F_1 \leftarrow \mathbb{P}(Y \leq -d_1)$

5: $F_2 \leftarrow \mathbb{P}(Y \leq -d_2)$

6: **Renvoyer** $-sF_1 + K \exp^{-rT} F_2$

7: **Fin Fonction**

Voici l'implémentation python :

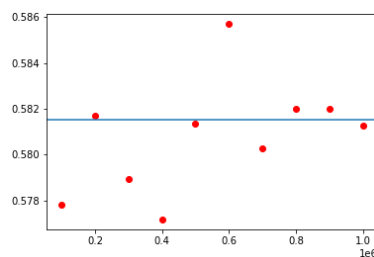
```
1 def put_BS(s,r,sig,T,K):
2     d1 = (1/(sig*math.sqrt(T)))*(math.log(s/K)+(r+(sig**2)/2)*T)
3     d2 = d1 - sig*math.sqrt(T)
4     F1 = stats.norm.cdf(-d1,0,1)
5     F2 = stats.norm.cdf(-d2,0,1)
6     return -s*F1+K*math.exp(-r*T)*F2
```

Question 16

On trouve avec les valeurs proposées : $\text{Prix}_{BS} = 0.5815$

Question 17

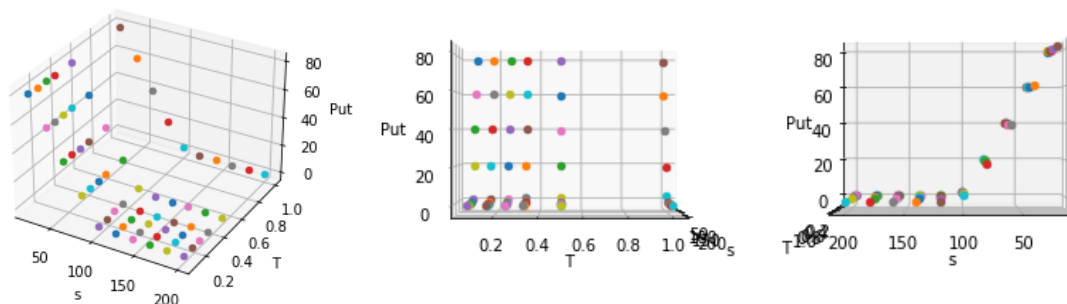
Voici le tracé de put et la méthode de Monte-Carlo



On observe la convergence de la méthode de Monte-Carlo vers la valeur réelle.

Question 18

Voici différents tracés du put lorsque s et T varient. On observe une décroissance exponentielle du put en s , mais une décroissance lente en T .



Partie III

Convergence des prix

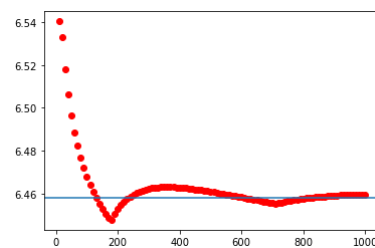
Sommaire

1	Application	12
---	-----------------------	----

1 Application

Question 19

Avec les données proposées, nous obtenons ce graphique.



Il semble que $pricer_2$ converge vers le prix du put lorsque N devient significativement grand. Ainsi nous pouvons en déduire que le modèle de Cox-Rubinstein et le modèle de Black-Scholes convergent vers cette valeur.

Partie IV

EDP de Black-Scholes

Résolution

Question 20

Nous avons :

$$\frac{\partial p}{\partial t}(t, x) - \frac{1}{2}\sigma^2 \frac{\partial^2 p}{\partial x^2}(t, x) - \left(r - \frac{\sigma^2}{2}\right) \frac{\partial p}{\partial x}(t, x) + rp(t, x) = 0$$

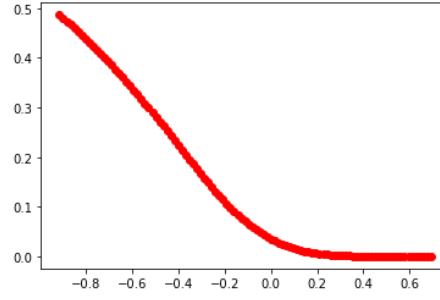
Avec $(t, x) \in [0, T] \times [x_{min}, x_{max}]$. En discrétisant l'espace comme dans le sujet et en utilisant les approximations pour un schéma explicite nous obtenons :

$$p(t_{m+1}, x_j) = p(t_m, x_j)(1-r\Delta t) + \frac{\Delta t}{2} \frac{\sigma^2}{h^2} (p(t_m, x_{j+1}) + 2p(t_m, x_j) + p(t_m, x_{j-1})) + \left(r - \frac{\sigma^2}{2}\right) \frac{\Delta t}{2h} (p(t_m, x_{j+1}) - p(t_m, x_{j-1}))$$

Ainsi avec l'algorithme suivant nous pouvons utiliser la méthode d'Euler explicite :

```
1 def euler_exp(K,r,sig,T,x_min,x_max,N,M):
2     delta_t = T/M
3     liste_t = [m*delta_t for m in range(0,M+1)]
4     h = (x_max - x_min)/N
5     liste_x = [x_min+j*h for j in range(0,N+1)]
6     matrice_res = [[0 for _ in range(N+1)] for _ in range(M+1)]
7     for i in range(N+1):
8         matrice_res[0][i] = max(K - math.exp(liste_x[i]), 0)
9     for i in range(M+1):
10        matrice_res[i][0] = K*math.exp(-r*liste_t[i])-math.exp(x_min)
11
12    for i in range(1,M+1):
13        for j in range(1,N):
14            matrice_res[i][j] = matrice_res[i-1][j] \
15                +delta_t*0.5*(sig**2)*(1/(h**2))*(matrice_res[i-1][j+1] \
16                    -2*matrice_res[i-1][j]+matrice_res[i-1][j-1]) \
17                +delta_t*(r-(sig**2)/2)*(1/(2*h))*(matrice_res[i-1][j+1] \
18                    -matrice_res[i-1][j-1])-delta_t*r*matrice_res[i-1][j]
19    return matrice_res[-1]
```

Nous obtenons donc :



Concernant la méthode d'Euler implicite, nous obtenons comme schéma :

$$\begin{cases} \frac{\partial p}{\partial t}(t_m, x_j) \approx \frac{1}{\Delta t}(p(t_m, x_j) - p(t_{m-1}, x_j)) \\ \frac{\partial p}{\partial x}(t_m, x_j) \approx \frac{1}{2h}(p(t_m, x_{j+1}) - p(t_m, x_{j-1})) \\ \frac{\partial^2 p}{\partial x^2}(t_m, x_j) \approx \frac{1}{h^2}(p(t_m, x_{j+1}) - 2p(t_m, x_j) + p(t_m, x_{j-1})) \end{cases}$$

En injectant cela dans notre équation de base :

$$\frac{\partial p}{\partial t}(t, x) - \frac{1}{2}\sigma^2 \frac{\partial^2 p}{\partial x^2}(t, x) - (r - \frac{\sigma^2}{2}) \frac{\partial p}{\partial x}(t, x) + rp(t, x) = 0$$

Nous obtenons :

$$p(t_{m-1}, x_j) = ap(t_m, x_{j-1}) + bp(t_m, x_j) + cp(t_m, x_{j+1})$$

Avec

$$\begin{cases} a = -\frac{\sigma^2 \Delta t}{2h^2} + \frac{r \Delta t}{2h} - \frac{\sigma^2 \Delta t}{4h} \\ b = r \Delta t + \Delta t \frac{\sigma^2}{h^2} + 1 \\ c = -\frac{\sigma^2 \Delta t}{2h^2} - \frac{r \Delta t}{2h} + \frac{\sigma^2 \Delta t}{4h} \end{cases}$$

On pose $P_m = \begin{pmatrix} p(t_m, x_0) \\ \vdots \\ p(t_m, x_N) \end{pmatrix}$ et on pose également :

$$A = \begin{bmatrix} a & b & c & 0 & \dots & 0 \\ 0 & \ddots & \ddots & \ddots & \ddots & \vdots \\ \vdots & & \ddots & \ddots & \ddots & 0 \\ 0 & \dots & 0 & a & b & c \end{bmatrix}$$

Ainsi nous avons le problème $P_{m-1} = AP_m$ à résoudre. En faisant bien attention lors de l'implémentation à donner les bonnes valeurs aux premiers et derniers coefficients de P_m .

Ainsi avec l'algorithme suivant nous pouvons utiliser la méthode d'Euler implicite :

```

1 def euler_imp(K,r,sig,T,x_min,x_max,N,M):
2     delta_t = T/M
3     liste_t = [m*delta_t for m in range(0,M+1)]
4     h = (x_max - x_min)/N
5     liste_x = [x_min+j*h for j in range(0,N+1)]
6     Pm = [ max(K - math.exp(liste_x[i]),0) for i in range(0,N+1)]
7     a = - (delta_t * (sig**2))/(2*(h**2)) + ((delta_t)*r)/(2*h) \
8         - (delta_t*(sig)**2)/(4*h)
9     b = r*delta_t + delta_t*(sig**2)*(1/(h**2)) + 1

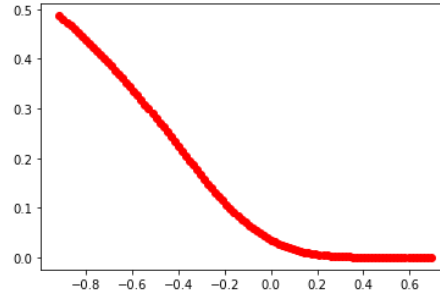
```

```

10  c = - (delta_t/2) * (sig/h)**2 - (delta_t * r)/(2*h) \
11      + (delta_t*(sig)**2)/(4*h)
12  A = [[0 for _ in range(N+1)] for _ in range(N+1)]
13  for j in range(1,N):
14      A[j][j-1] = a
15      A[j][j] = b
16      A[j][j+1] = c
17  A[N][N] = 1
18
19  for j in range(1,M+1):
20      A[0][0] = (K*np.exp(-r*liste_t[j-1])-np.exp(x_min)) \
21                /(K*np.exp(-r*liste_t[j])-np.exp(x_min))
22      Pm = np.linalg.solve(A,Pm)
23      Pm[0] = K*math.exp(-r*liste_t[j])-math.exp(x_min)
24      Pm[-1] = 0
25  return Pm

```

Nous obtenons donc :



Concernant le schéma de Crank-Nicholson nous avons :

$$\begin{cases}
 \frac{\partial p}{\partial t}(t_m, x_j) \approx \frac{1}{\Delta t} (p(t_{m+1}, x_j) - p(t_m, x_j)) \\
 \frac{\partial p}{\partial x}(t_m, x_j) \approx \frac{1}{4h} (p(t_m, x_{j+1}) - p(t_m, x_{j-1}) + p(t_{m+1}, x_{j+1}) - p(t_{m+1}, x_{j-1})) \\
 \frac{\partial^2 p}{\partial x^2}(t_m, x_j) \approx \frac{1}{2h^2} (p(t_m, x_{j+1}) - 2p(t_m, x_j) + p(t_m, x_{j-1}) + p(t_{m+1}, x_{j+1}) - 2p(t_{m+1}, x_j) + p(t_{m+1}, x_{j-1}))
 \end{cases}$$

En posant :

$$\begin{cases}
 a = \frac{\sigma^2}{4h^2} - (r - \frac{\sigma^2}{2}) \frac{1}{4h} \\
 b = \frac{1}{\Delta t} - \frac{\sigma^2}{2h^2} - r \\
 c = \frac{\sigma^2}{4h^2} + (r - \frac{\sigma^2}{2}) \frac{1}{4h} \\
 a' = (r - \frac{\sigma^2}{2}) \frac{1}{4h} - \frac{\sigma^2}{4h^2} \\
 b' = \frac{1}{\Delta t} + \frac{\sigma^2}{2h^2} \\
 c' = -(r - \frac{\sigma^2}{2}) \frac{1}{4h} - \frac{\sigma^2}{4h^2}
 \end{cases}$$

Donc en combinant les éléments ci-dessus nous obtenons :

$$ap(t_m, x_{j-1}) + bp(t_m, x_j) + cp(t_m, x_{j+1}) = a'p(t_{m+1}, x_{j-1}) + b'p(t_{m+1}, x_j) + c'p(t_{m+1}, x_{j+1})$$

Nous devons donc résoudre un problème du type : $AP_{m+1} = BP_m$ de la forme :

$$\begin{bmatrix} a' & b' & c' & 0 & \dots & 0 \\ 0 & \ddots & \ddots & \ddots & \ddots & \vdots \\ \vdots & & \ddots & \ddots & \ddots & 0 \\ 0 & \dots & 0 & a' & b' & c' \end{bmatrix} P_{m+1} = \begin{pmatrix} p(t_{m+1}, x_0) \\ ap(t_m, x_0) + bp(t_m, x_1) + cp(t_m, x_2) \\ \vdots \\ ap(t_m, x_{N-2}) + bp(t_m, x_{N-1}) + cp(t_m, x_N) \\ p(t_{m+1}, x_N) \end{pmatrix}$$

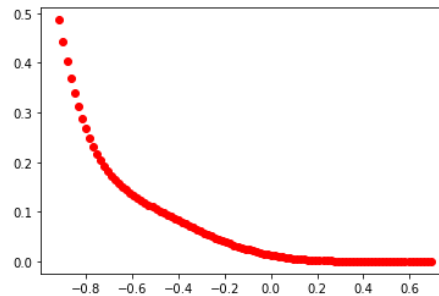
Ainsi avec l'algorithme suivant nous pouvons utiliser la méthode Crank-Nicholson :

```

1 def CosM(K,r,sig,T,x_min,x_max,N,M):
2     delta_t = T/M
3     liste_t = [m*delta_t for m in range(0,M+1)]
4     h = (x_max - x_min)/N
5     liste_x = [x_min+j*h for j in range(0,N+1)]
6     Pm = np.array([ max(K - math.exp(liste_x[i]),0) for i in range(0,N+1)])
7     a = (sig**2)/(4*(h**2))-(r-(sig**2)/2)*(1/(4*h))
8     b = (1/delta_t)-(sig**2)/(2*h**2)-r
9     c = (sig**2)/(4*h**2)+(r-(sig**2)/2)*(1/(4*h))
10    ap = -(sig**2)/(4*h**2)+(r-(sig**2)/2)*(1/(4*h))
11    bp = (1/delta_t)+(sig**2)/(2*h**2)
12    cp = -(sig**2)/(4*h**2)-(r-(sig**2)/2)*(1/(4*h))
13    AP = np.array([[0 for _ in range(N+1)] for _ in range(N+1)])
14    for j in range(1,N):
15        AP[j][j-1] = ap
16        AP[j][j] = bp
17        AP[j][j+1] = cp
18    AP[N][N] = 1
19    AP[0][0] = 1
20    for j in range(1,M+1):
21        nPm = copy.deepcopy(Pm)
22        nPm[0] = K*math.exp(-r*liste_t[j])-math.exp(x_min)
23        nPm[-1] = 0 #p(t_j+1,0)
24        for i in range(1,N):
25            nPm[i] = a*nPm[i-1]+b*nPm[i]+c*nPm[i+1]
26        Pm = np.linalg.solve(AP,nPm)
27        Pm[0] = K*math.exp(-r*liste_t[j])-math.exp(x_min)
28        Pm[-1] = 0
29    return Pm

```

Nous obtenons donc :



Ce schéma n'est pas absurde, cependant il s'écarte beaucoup des 2 précédents, je suppose qu'il y a une erreur dans mon algorithme ou dans mes calculs.